

ОГЛАВЛЕНИЕ

Список сокращений	4
Предисловие	5
Глава 1. ОБЩИЕ СВЕДЕНИЯ О МЕХАНИЧЕСКИХ ПОВРЕЖДЕНИЯХ ГЛАЗ. ВОЗМОЖНОСТИ ЛУЧЕВОЙ ДИАГНОСТИКИ ПРИ ТРАВМАХ ГЛАЗ	8
1.1. Особенности современных повреждений глаз	8
1.2. Особенности классификации повреждений глаз	11
1.3. Современные принципы лучевого обследования пациентов с травмами глаза	12
1.3.1. Традиционные рентгенологические методики	13
1.3.2. Ультразвуковые методики	16
1.3.3. Компьютерная томография	22
1.3.4. Магнитно-резонансная томография	26
1.3.5. Ангиография	30
1.3.6. Радионуклидная диагностика	30
Глава 2. СТРУКТУРА СОВРЕМЕННЫХ МЕХАНИЧЕСКИХ ПОВРЕЖДЕНИЙ ГЛАЗ И ПОКАЗАНИЯ КИССЛЕДОВАНИЯМ	32
Глава 3. ЛУЧЕВАЯ АНАТОМИЯ ГЛАЗА (совместно с О.Р.Слободиной) ..	40
Глава 4. ЛУЧЕВАЯ СЕМИОТИКА МЕХАНИЧЕСКИХ ПОВРЕЖДЕНИЙ ГЛАЗ	52
4.1. Воздействие медицинского ультразвукового излучения на структуры глаза у экспериментальных животных	52
4.2. Ультразвуковые синдромы при повреждениях глаз	54
4.3. Клинико-лучевая семиотика острой травмы глаза	58
4.3.1. Внутриглазные кровоизлияния	58
4.3.2. Травматическая катаракта и вывих (подвывих) хрусталика ..	66
4.3.3. Отслойка оболочек глаза	73
4.3.4. Ранения глаза	81
4.4. Посттравматические изменения глаза (семиотика возможных осложнений)	103
Глава 5. АЛГОРИТМ ОБСЛЕДОВАНИЯ ПАЦИЕНТОВ С МЕХАНИЧЕСКИМИ ПОВРЕЖДЕНИЯМИ ГЛАЗ	114
Приложение	121
Литература	123

Глава 3

ЛУЧЕВАЯ АНАТОМИЯ ГЛАЗА

Правильная оценка патологических изменений глаза после травмы невозможна без знания лучевой анатомии. Поэтому мы выделили группу из 135 пациентов в возрасте от 17 до 55 лет, которым было выполнено амбулаторное или стационарное обследование. Из них 60 человек страдали близорукостью различной степени. На лучевое (КТ и МРТ) исследование пациенты направлялись с подозрением на патологический процесс головного мозга, придаточных пазух носа (60 человек), но у них при клиническом и лучевом обследовании патологических изменений найдено не было.

При обследовании этой группы пациентов был создан «атлас» лучевой анатомии глаз, который в последующем позволил объективно оценивать характер и объем патологических изменений после повреждений.

Известно, что глаз окружены неоднородными по плотности структурами. Своеобразным их «каркасом» являются костные стенки глазниц, которые имеют вид четырехгранных полых пирамид, с вершинами, обращенными кзади, в полость черепа, и широкое основание, обращенное кпереди (рис. 4). Глубина орбиты составляет $4,5 \pm 0,25$ см, ширина ее в области основания около 4 см, высота не превышает 3,5 см.

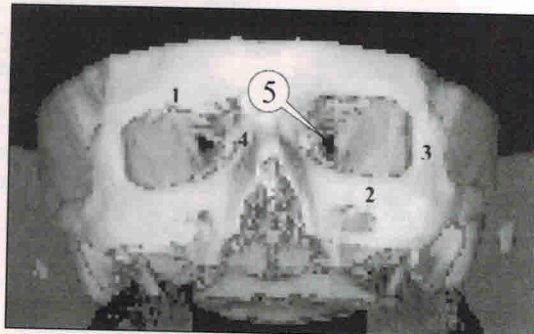


Рис. 4. Фрагмент компьютерной томограммы.

Трехмерная реконструкция орбиты в норме: 1 — верхняя стенка; 2 — нижняя стенка; 3 — наружная стенка; 4 — внутренняя стенка; 5 — канал зрительного нерва.

Стенки орбиты имеют неравномерную толщину и множество отверстий, через которые в ее полость проникают сосуды и нервы; здесь же расположены мышечные образования. На передней поверхности глазных яблок расположены веки — мягкоэластичные (кожно-мышечные, хрящевые) структуры, не препятствующие прохождению ультразвуковых волн и рентгеновских лучей. Между веками и глазным яблоком возможна наличие тонкой полоски воздуха.

Анализируя анатомию глаза, необходимо отметить, что с позиций современных методов лучевой диагностики (УЗИ, КТ, МРТ) глазное яблоко представляет собой «прозрачный» неправильно-округлой формы, поверхностно расположенный парный орган коллоидно-жидкотканной структуры. Он имеет четкие контуры во всех отделах, и толщина оболочки составляет $0,76 \pm 0,05$ мм в переднем и $1,5 \pm 0,1$ мм — в заднем сегменте глаза.

Лучевые диагностические методы (кроме традиционных рентгенологических) позволяют отчетливо дифференцировать три сегмента глаза и различать его анатомические структуры: в переднем сегменте с помощью УЗИ, КТ, МРТ — роговицу, переднюю камеру, радужку, ресничное тело; в среднем и заднем сегментах — хрусталик и стекловидное тело, с помощью допплерографии — оболочки с высокой васкуляризацией (сосудистую оболочку и сетчатку), область диска зрительного нерва (рис. 5–7).

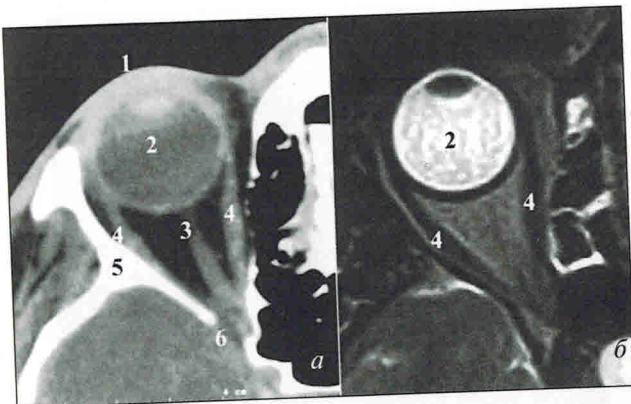


Рис. 5. Лучевая анатомия глаза и орбиты.

Фрагменты рентгеновской компьютерной томограммы (а); магнитно-резонансной томограммы (б): 1 — веко; 2 — глазное яблоко; 3 — зрительный нерв; 4 — внутренняя и наружная прямые мышцы; 5 — костные стенки орбиты; 6 — канал зрительного нерва.

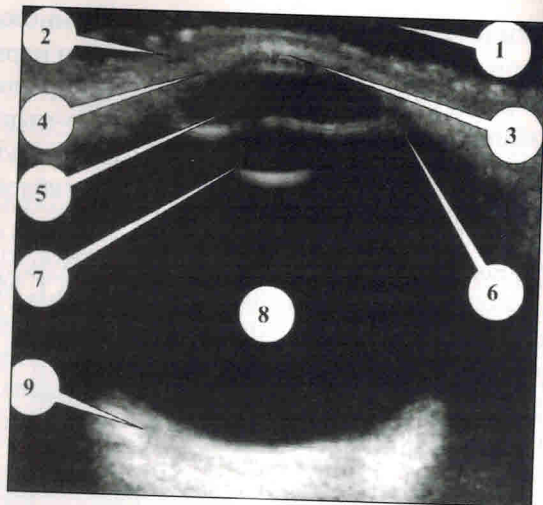


Рис. 6. Ультразвуковая анатомия глаза и окружающих его тканей в норме. Режим В-сканирования.

1 — анэхогенное пространство водного баллона; 2 — мягкие ткани век; 3 — роговица; 4 — область лимба; 5 — передняя камера; 6 — ресничное тело; 7 — хрусталик; 8 — стекловидное тело; 9 — оболочки заднего отдела глаза

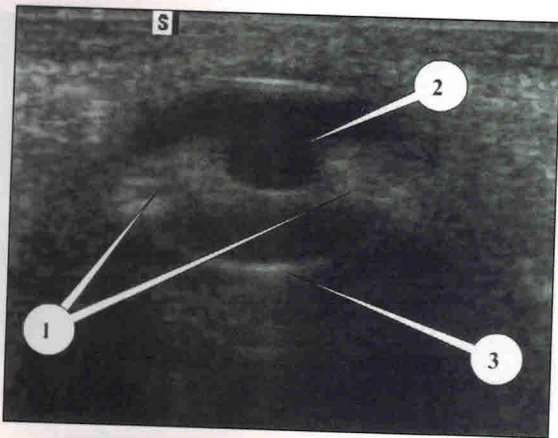


Рис. 7. Ультразвуковая анатомия глаза и окружающих его тканей в норме. Режим В-сканирования.

Фрагмент эхограммы: 1 — радужная оболочка; 2 — зрачок; 3 — задняя поверхность хрусталика.

Более того, в ретробульбарном пространстве визуализируются венозные и артериальные сосуды. С помощью КТ и МРТ определяется мышечный аппарат глаз и зрительный нерв практически на всем протяжении. Биометрические показатели глаза, полученные в норме, представлены ниже.

Биометрические показатели глаза у людей контрольной группы по данным лучевых методов исследования

Показатель	Величина
Переднезадняя ось глаза, мм	24,8±0,16
Объем стекловидного тела, см ³	5,88±0,25
Плотность стекловидного тела, ед. HU	18,7±6,0
Толщина роговицы, мм	0,76±0,05
Глубина передней камеры, мм	3,0±0,2
Переднезадний размер хрусталика, мм	3,8±0,16
Толщина ствола зрительного нерва, мм	2,9±0,2

Роговица визуально представляется в виде выпуклой однотонной полоски неравномерной толщины, 0,7–0,8 мм в центральной части. Она эластична, поэтому при надавливании ультразвуковым датчиком деформируется, изменяя свою кривизну и тем самым, влияя на форму передней камеры. В периферических отделах роговица без четкой границы переходит в склеру. У пациентов старшей возрастной группы эта граница определяется более отчетливо. Уплотнение, облитерация венозного синуса склеры (шлеммова канала) характеризуются мелкоточечными включениями повышенной эхогенности или умеренным повышением рентгенологической плотности анатомических структур этой области.

Пространство между задней поверхностью роговицы, передней поверхностью хрусталика и передними отделами сосудистого тракта заполнено однородной «эхопрозрачной», анэхогенной жидкостью — это **передняя камера**. Она имеет неправильно-выпуклую форму с уплощенным основанием. При лучевом исследовании (особенно ультразвуковом) визуально хорошо определяются все ее отделы: центральная часть и углы (рис. 8).

Радужная оболочка является частью задней поверхности передней камеры. Она наиболее хорошо видна при УЗИ. При сканировании в переднезаднем направлении радужная оболочка визуализируется в виде тонкой эхогенной полоски, при косом сканировании — в виде

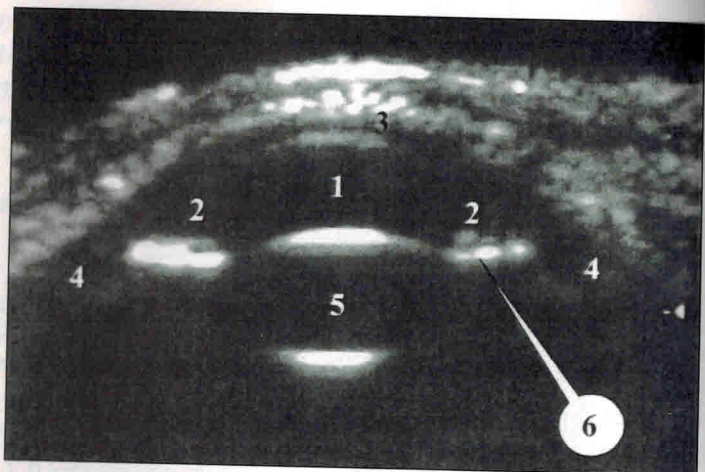


Рис. 8. Ультразвуковая анатомия глаза и окружающих его тканей в норме.

Режим В-сканирования. Фрагмент эхограммы: 1 — центральная часть передней камеры; 2 — углы; 3 — роговица; 4 — ресничное тело; 5 — хрусталик; 6 — радужная оболочка.

гетероэхогенной пластиинки с центрально расположенным анэхогенным округлым образованием (зрачком). При РКТ и МРТ адекватно оценить радужку крайне сложно из-за небольшой толщины и достаточно жестких технических условий выполнения исследования (толщина среза не менее 2 мм, произвольные движения глаз, сканирование в строго определенной плоскости).

Основанием радужки является **ресничное (цилиарное) тело**, расположенное по окружности глаза. Оно имеет небольшие размеры и на эхотомограммах представляется в виде симметричного тканевого образования, выступающего в просвет полости глазного яблока до 2 мм. Ресничное тело имеет четкие контуры, несколько неровные за счет ресничных отростков.

Хрусталик имеет вид образования неправильно-овальной формы с четкими границами, более выпуклой задней поверхностью и плоской передней. При ультразвуковом сканировании выявляется анэхогенная структура с усилением эхосигнала по передней и задней поверхности (граница акустических сред). При МРТ при сравнении со стекловидным телом на T_1 -ВИ он имеет умеренно повышенный сигнал, а на T_2 -ВИ — пониженный. При КТ плотность хрусталика составляет

1113,7 ед. НУ. У обследуемых старше 50 лет эхоплотность хрусталика понижается; в нем выявляется формирование мелких включений различной эхоплотности линейного и точечного характера, расцениваемых как дегенеративные изменения. Отчетливо оценить связочный аппарат — **ресничный поясок (цинновые связки)**, на котором держится хрусталик, с помощью лучевых методик нам не удалось. Его состояние оценивалось нами по симметричности расположения хрусталика в полости глаза.

Большую часть объема глазного яблока составляет **стекловидное тело** — жидкостно-подобная структура, занимающая всю центральную часть. Стекловидное тело в норме имеет неоднородную структуру из-за своей слоистости, но на УЗ-изображениях выглядит как анэхогенное однородное образование. Неоднородность стекловидного тела хорошо определяется при МРТ. На T_1 -ВИ оно имеет преимущественно пониженный сигнал, на T_2 -ВИ — повышенный.

У людей, страдающих близорукостью, и у пациентов старшей возрастной группы при УЗИ на фоне анэхогенной центральной зоны глаза можно визуально выявить тонкие, тяжистые эхогенные структуры, не фиксированные к оболочкам, которые свободно перемещаются при изменении направления взора. Они трактуются как деструктивные изменения.

Оболочки глаз в среднем и заднем отделе многослойны и состоят из нескольких анатомических образований. Более глубокая, внутренняя, оболочка — **сетчатка**, средняя — **собственно сосудистая**, и наружная — **скlera**, состоящая из плотных коллагеновых волокон. При лучевом исследовании объективно дифференцировать эти слои достаточно сложно. Оболочки глаз в этих отделах выглядят как кольцевидная неоднородная полоска из-за различной степени их гидрофильности и плотности. Внутренние слои более темные (с высокой степенью васкуляризации) при МРТ и более светлые при УЗИ и РКТ. В области заднего отдела глаза отчетливо визуализировалось нежное втяжение — небольшая «воронка» — диск зрительного нерва. Сам же зрительный нерв выглядит как лентовидное образование — при томографии или как гипоэхогенное тяжистое образование — при ультразвуковом сканировании.

К сожалению, из-за небольших размеров сосудов не все элементы сосудистой сети глазного яблока можно визуализировать с помощью лучевых методов. Однако возможности цветового дуплексного исследования при решении вопросов оценки кровотока наиболее очевидны. Преимущество перед другими лучевыми методами состоит в том, что с

4.3.2. ТРАВМАТИЧЕСКАЯ КАТАРАКТА И ВЫВИХ (ПОДВЫВИХ) ХРУСТАЛИКА

Травматическая катаракта характеризуется диффузным изменением светопроводящих структур и увеличением их размеров, ограниченных пределами одного анатомического образования — хрусталика. В результате травмы происходит частичное или полное (тотальное) снижение прозрачности хрусталиковых масс (рис. 25–28). Этапности, стадийности этого процесса нами не отмечено. Изменение прозрачности хрусталика могло происходить после травматического воздействия через несколько часов, так и спустя несколько суток и даже недель. В основном этот процесс зависит от силы и направления повреждающего фактора. При прямых ударах в область глаза скорость появления катаракты и ее интенсивность более высокие.

УЗИ позволяет визуально определить наличие в хрусталике эхогенных включений. Они могут быть как точечного, так и линейного характера, в виде массивных эхогенных масс, полностью замещающих часть хрусталика. При набухающей травматической катаракте происходит увеличение переднезаднего размера хрусталика. Эффективность УЗИ в определении травматической катаракты составляет 95%.



Рис. 25. Травматическая катаракта.

В-сканирование через водный болюс. Фрагмент эхограммы. Передняя камера (гифема) мелкая, с неоднородным дисперсным содержимым (1), хрусталик увеличен в переднезаднем размере, диффузно изменен (2).

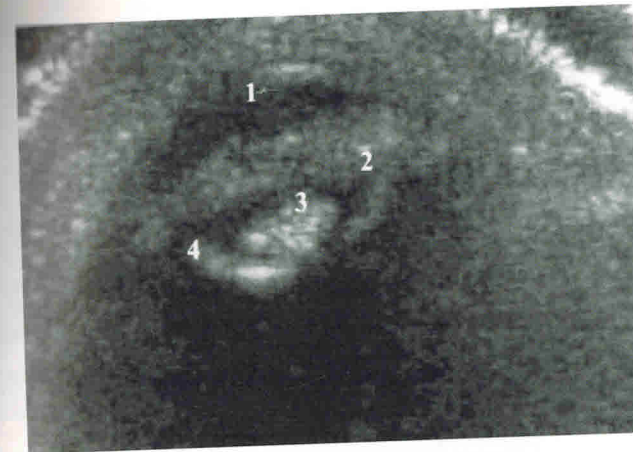


Рис. 26. Травматическая катаракта.

Б-сканирование. Фрагмент эхограммы. Передняя камера неравномерной глубокомпенсации (1), хрусталик (2) с признаками диффузных изменений, которые сформированы в его центральной части ядро (3), задняя капсула хрусталика (4) уплотнена, мягкие ткани (веки) утолщены, отечны (5).

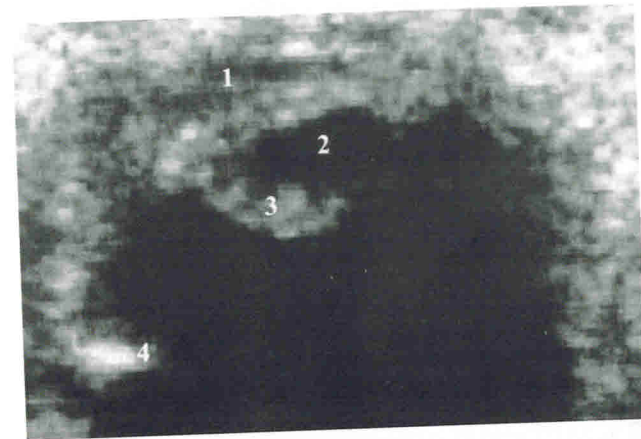


Рис. 27. Травматическая катаракта.

Б-сканирование. Фрагмент эхограммы. Передняя камера (1) мелкая, деформированная, заполнена дисперсным содержимым (гифема), хрусталик (2) увеличен в переднезаднем размере, в его краевой части — неоднородные эхогенные включения (3). Определяется инородное внутриглазное тело, фиксированное в оболочках глаза (4).

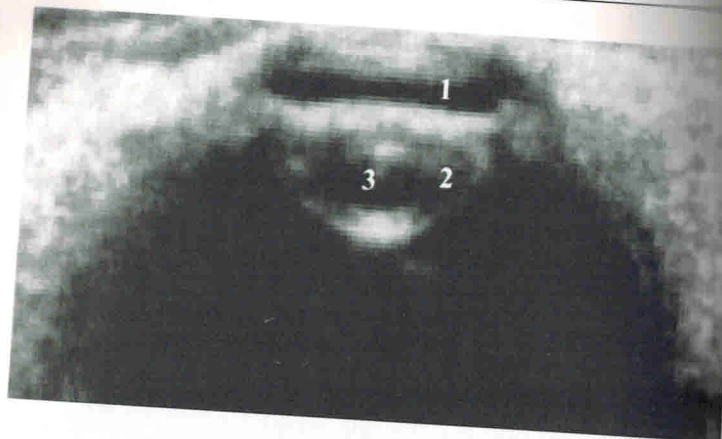


Рис. 28. Травматическая катаракта.

В-сканирование. Фрагмент эхограммы. Передняя камера (1) деформирована за счет давления датчиком, хрусталик (2) изменен в периферических отде- лах, сформирован гипоэхогенный центр (3).

При РКТ отчетливо оценить характер включений в структуре хрусталика сложно. В основном определяется повышение его плотности. МРТ в этих случаях еще менее информативна.

Вывих хрусталика характеризуется синдромом нарушения анатомических взаимоотношений. При полном вывихе хрусталик располагается в нижнезадних отделах глаза, при подвывихе смещается кнутри либо кнаружи, возможно его смещение кзади или даже вертикальное расположение. Это зависит от степени и локализации повреждения ресничного пояска (цинновой связки). При вывихах хрусталика на сонограммах определяется овальное образование, расположенное в наиболее отлогих участках с признаками гравитационной зависимости. С течением времени хрусталик диффузно изменяется. В его структуре определяются эхогенные включения линейного и точечного характера — формировалась катаракта (рис. 29, 30). Эффективность определения дислокации хрусталика по данным УЗИ составляет 89,3%.

При РКТ и МРТ сложно оценить структурные изменения хрусталика. Удаётся определить его атипичное расположение в заднем отделе глаза, но при подвывихе хрусталика однозначно высказаться о его диспозиции иногда бывает затруднительно (рис. 31–34).

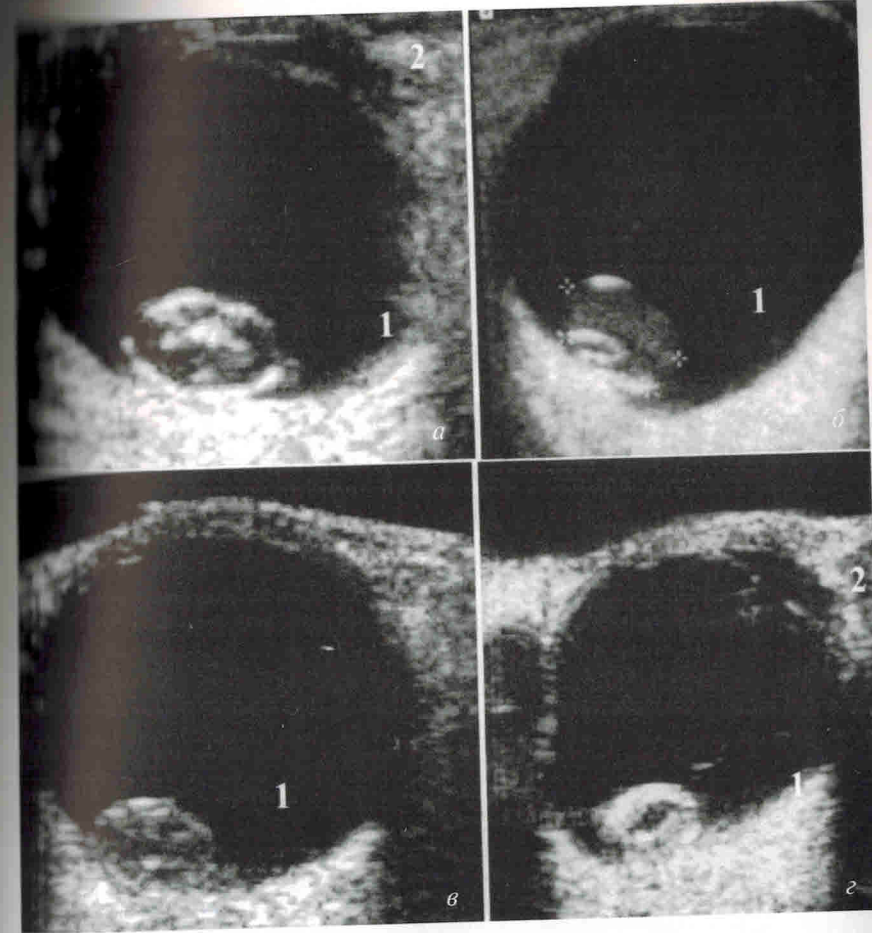


Рис. 29. Вывих хрусталика.

Фрагменты эхограмм (а-г) в В-режиме. Хрусталик (1) имеет выраженные диффузные изменения (травматическая катаракта), расположен в заднем отделе глаза. 2 — передняя камера.